

Рис. 4. Распределение интенсивности напряжений в процессе работы насоса

Также необходимо учитывать наличие концентраторов напряжений.

Полученные результаты напряженно-деформированного состояния, а также проведенный анализ выявленных в процессе эксплуатации дефектов и разрушений валов шламовых насосов показал, что они в большинстве случаев носят смешанный характер.

На ранней стадии, зарождение и развитие дефекта происходит, как правило, в зонах концентрации напряжений в поверхностном слое материала (в зонах накопления наибольших пластических деформаций) и носит усталостный характер. В дальнейшем, по мере уменьшения «живого» сечения вала, возрастают и становятся доминирующими статические напряжения от центробежных сил, динамические воздействия от гидравлических процессов, а также значительные вибрационные воздействия.

Как показывают многочисленные исследования, одним из основных факторов, определяющих сопротивление усталости металлов и сплавов, является состояние поверхностного слоя [4,5], а именно остаточные напряжения и шероховатость, точнее размер микровпаден (микротрещин). Что в основном зависит от технологических факторов. Учитывая тот факт, что восстановление изношенных поверхностей валов происходит путём наплавки покрытий необходимо также проводить исследования процесса сцепляемости и решения тепловой и динамической задачи удара, растекания и охлаждения частичек на подкладке (основном материале детали).

Следовательно, можно заключить, что высокий уровень усталостной повреждаемости валов в эксплуатации свидетельствует не столько о недостаточном запасе длительной статической и вибрационной прочности, на которые обычно производится расчет, сколько о преобладающем влиянии усталостных напряжений и состояния поверхностного слоя, особенно поле нанесения покрытий, которое до настоящего времени при расчетах практически не учитывается.

Выводы и направления последующих исследований. В результате проведения исследований напряженно-деформированного состояния вращающегося вала шламового насоса определены зоны сосредоточения максимальных напряжений и пластических деформаций. Что является основой для последующих исследований и разработки рекомендаций по конструктивному усовершенствованию детали.

Список литературы

1. Серенсен С.В., Когаев В.П. Шнейдерович Н.М. Несущая способность и расчет деталей машин на прочность: руководство и справочное пособие. М.: Машиностроение, 1975. - 488 с.
2. Ремонт повітряних суден та авіаційних двигунів / [Кудрін А. П., Зайвенко Г. М., Волосович Г. А., Хижко В. Д.]. - К.: НАУ, 2002. – 492 с.
3. Влияние состояния поверхности и контактного взаимодействия / В.Т. Трощенко, Г.В. Цыбанев, Б.А. Грязнов, Ю.С. Налимов. Киев. ИПП НАН Украины, 2009.-664 с.
4. Технологическое обеспечение эксплуатационных характеристик деталей ГТД / В.А. Богуслаев, Ф.М. Муравченко, П.Д. Жеманюк, В.Е. Замковой и др. Запорожье. ОАО «Мотор Сич», 2003. -396 с.

Рукопись поступила в редакцию 22.03.12

УДК 621.926:34.16

В.С. МОРКУН, д-р техн. наук, проф., С.А. ГОНЧАРОВ, аспирант,
Н.С. ПОДГОРОДЕЦКИЙ, канд. техн. наук, ГВУЗ «Криворожский национальный университет»

МОДЕЛИРОВАНИЕ ИЗМЕНЕНИЯ ДАВЛЕНИЯ В ПРОЦЕССЕ РАСПРОСТРАНЕНИЯ ФРОНТА ИМПУЛЬСА ВЫСОКОЭНЕРГЕТИЧЕСКОГО УЛЬТРАЗВУКА В ПОТОКЕ ПУЛЬПЫ

Приведено описание основных положений, используемых при математическом моделировании процесса распространения импульса высокоэнергетического ультразвука в случайно-неоднородной среде

Ключевые слова: моделирование, ультразвук, давление, пульпа.

Проблема и её связь с научными и практическими задачами. Высокоэнергетический ультразвук является эффективным средством воздействия на ряд физических, химических и биологических процессов. Интенсивные волны обладают рядом особенностей, резко отличных от свойств волновых процессов малой интенсивности. Учёт нелинейности выражений, лежащих в основе волнового уравнения, приводит к изменению формы колебаний в волне. Охарактеризовать эти изменения можно в рамках временного описания. При таком подходе определяются изменения, которые претерпевает сформированная излучателем гармоническая форма колебаний по мере распространения волны.

Анализ исследований и публикаций. При излучении высокоэнергетического ультразвука в пульпу образуется волновой пучок, описываемый тремя характерными масштабами, в которых происходит изменение его характеристик: длина волны λ , поперечный размер пучка L_{\perp} и его продольный размер L_{\parallel} , причем $L_{\parallel} \gg L_{\perp} \gg \lambda$ [1].

Поведение интенсивных пучков, наряду с дифракцией, определяется нелинейными эффектами, которые проявляются тем сильнее, чем больше амплитуда или интенсивность волны. Эти эффекты для ультразвуковых волн обусловлены нелинейностью уравнений гидродинамики, а также нелинейными свойствами среды, т.е. зависимостью отклика среды от амплитуды волны. Образование большого количества гармоник при нелинейном распространении ультразвуковых волн делает неудобным спектральное описание, широко используемое в нелинейной оптике. Необходимо использовать полевой подход, т.е. описывать поведение временного профиля волны, который за счет нелинейных эффектов искажается: на нем образуются крутые участки - ударные фронты. Совместное действие нелинейных и дифракционных эффектов еще более усложняет задачу.

Базовым уравнением для описания ультразвукового пучка является уравнение Хохлова-Заболотского, которое имеет следующий вид [1]

$$\frac{\partial}{\partial \tau} \left[\frac{\partial p'}{\partial x} - \frac{\varepsilon}{\rho_0 c_0^3} \right] = \frac{c_0}{2} \Delta_{\perp} p', \quad (1)$$

где p' - акустическое (избыточное) давление; c_0 - скорость звука; ρ_0 - плотность; ε - параметр акустической нелинейности среды.

Правая часть уравнения (1) описывает дифракционные эффекты, второе слагаемое в левой части - нелинейные эффекты. Переменная $\tau = t - x/c_0$ имеет смысл времени в «бегущей» в направлении x со скоростью звука c_0 системе координат, $\Delta_{\perp} = \partial^2 / \partial y^2 + \partial^2 / \partial z^2$ - лапласиан по поперечным координатам y и z . Для аксиально-симметричных пучков, которые будут рассматриваться далее, поперечный лапласиан имеет вид

$$\Delta_{\perp} = \frac{1}{r} \frac{\partial}{\partial r} \left(r \frac{\partial}{\partial r} \right) = \frac{\partial^2}{\partial r^2} + \frac{1}{r} \frac{\partial}{\partial r}, \quad (2)$$

где $r = \sqrt{y^2 + z^2}$.

Параметр ε является безразмерным и характеризует нелинейные свойства среды. Для конденсированных сред величина ε обычно составляет 3-10. В структурно-неоднородных средах к которым относится пульпа значения ε могут достигать 10^3 - 10^4 .

Для предсказания поведения нелинейных пучков приходится обращаться к численному моделированию. Основой метода конечных разностей, применяемых при решении уравнений в частных производных, является дискретизация - замена непрерывной области совокупностью изолированных точек (сеткой), причем решение уравнений ищется лишь в этих точках (узлах сетки) [2]. Производные заменяются (аппроксимируются) конечными разностями, и решение уравнения в частных производных сводится к решению системы алгебраических уравнений. Основные особенности получающейся системы алгебраических уравнений определяются типом исходного уравнения в частных производных (или системы уравнений в частных производных). Нестационарные задачи обычно сводятся к алгебраическим уравнениям, которые можно решать последовательно. В этой связи важным является вопрос о том, сколь точно решение разностных уравнений приближается к решению исходной задачи. Для этого анализируется погрешность аппроксимаций, устойчивость и согласованность разностных схем [1-4].

Цель исследований. Задачей исследований является математическое моделирование изменения давления в процесса распространения фронта импульса высокоэнергетического ультразвука в потоке пульпы для формирования и прогнозирования количественной характеристики движения частиц измельчённой руды в интенсивном ультразвуковом поле.

Изложение материала и результаты. Рассмотрим процесс изменения давления в потоке пульпы в процесса распространения фронта импульса высокоэнергетического ультразвука.

Краевые условия рассматриваемой задачи имеют вид

$$V(t, x = L) = 0, P(t, x = 0) = P_0. \quad (3)$$

Начальные условия в момент времени $t=0$ по всему измерительному каналу, скорость движения пульпы и давление считаем постоянными

$$P(t = 0, x) = P_0, V(t = 0, x) = V_0. \quad (4)$$

Модель распространения упругих волн по каналу строится на основе уравнений количества движения и упругой деформации пульпы в измерительном канале [3]

$$\rho \frac{\partial V}{\partial t} = -\frac{\partial P}{\partial x}, \quad \frac{\partial P}{\partial t} + \rho c^2 \frac{\partial V}{\partial x} = 0, \quad (5)$$

где ρ - плотность пульпы; c - скорость распространения упругих возмущений в пульпе (скорость звука).

Для решения нелинейных уравнений, описывающих процесс распространения ультразвукового импульса в пульпе, может быть использован двухшаговый вариант метода Лакса – Вендроффа. Применяя этот метод для решения уравнения переноса, можно получить явную двухшаговую трехслойную по времени разностную схему [2]

Шаг 1 (предиктор):

$$\frac{u_{j+1/2}^{n+1/2} - (u_{j+1}^n + u_j^n)/2}{\Delta t/2} + a \frac{u_{j+1}^n - u_j^n}{\Delta x} = 0. \quad (6)$$

Шаг 2 (корректор):

$$\frac{u_{j+1}^n - u_j^n}{\Delta t/2} + a \frac{u_{j+1/2}^{n+1/2} - u_{j-1/2}^{n+1/2}}{\Delta x} = 0. \quad (7)$$

Эта схема имеет второй порядок точности с погрешностью аппроксимации $O((\Delta x)^2, (\Delta t)^2)$ и устойчива при $|r| \leq 1$ ($r = a\Delta t/\Delta x$).

Моделирование нелинейного процесса распространения импульса высокоэнергетического ультразвука в пульпе требует высокой точности решения исходных уравнений. Решение этой проблемы может быть осуществлено путём использования линейной комбинации методов с разностями против потока, имеющих противоположные ошибки по фазе, что позволяет существенно уменьшить дисперсионную ошибку. Для этого будем использовать метод Бима и Уорминга [4], использующий как на шаге предиктор, так и на шаге корректор разности назад (разности против потока). При $a > 0$ этот метод приводит к разностной схеме

Предиктор:

$$\overline{u_j^{n+1}} = u_j^n - a \frac{\Delta t}{\Delta x} (u_j^n - u_{j-1}^n). \quad (8)$$

Корректор:

$$u_j^{n+1} = \frac{1}{2} \left[u_j^n + \overline{u_j^{n+1}} - a \frac{\Delta t}{\Delta x} (\overline{u_j^{n+1}} - \overline{u_{j-1}^{n+1}}) - \frac{a\Delta t}{\Delta x} (u_j^n - 2u_{j-1}^n + u_{j-2}^n) \right]. \quad (9)$$

Благодаря тому, что в правую часть уравнения (9) включена односторонняя с разностями против потока аппроксимация второй производной, схема имеет второй порядок точности с погрешностью аппроксимации $O((\Delta t)^2, (\Delta t)(\Delta x), (\Delta x)^2)$. Если подставить (8) в (9), то получится одношаговый алгоритм

$$u_j^{n+1} = u_j^n - r(u_j^n - u_{j-1}^n) + \frac{1}{2} r(r-1)(u_j^n - 2u_{j-1}^n + u_{j-2}^n). \quad (10)$$

Модифицированное уравнение для рассматриваемой разностной схемы имеет вид

$$u_t + ua_x = a \frac{(\Delta x)^2}{6} (1-r)(2-r)u_{xxx} - \frac{a(\Delta x)^2}{8\Delta t} r(1-r)^2(2-r)u_{xxx} + \dots \quad (11)$$

При $r=1$ и $r=2$ схема с разностями против потока имеет бесконечный порядок точности и

разностная схема устойчива при $0 \leq r \leq 2$. Для метода с разностями против потока при $0 < r < 1$ характерно опережение по фазе, а при $1 < r < 2$ – отставание. Поэтому при $0 < r < 1$ метод Лакса – Вендроффа и метод Бима и Уорминга с разностями против потока имеют противоположные ошибки по фазе, что и является основанием для решения поставленной задачи.

Исходные уравнения, используемые для моделирования изменения давления в процессе распространения импульса высокоэнергетического ультразвука в пульпе имеют пять параметров, поэтому предварительно преобразуем их к безразмерному виду в соответствии с методикой, приведенной в работе [3]. В качестве масштаба для продольной координаты выберем длину измерительного канала, а в качестве масштаба скорости – скорость звука. В соответствии с этим введем безразмерную пространственную координату $\bar{x} = x/L$ и скорость $\bar{V} = V/c$. В качестве масштаба времени выберем время распространения звука по каналу L/c . Тогда безразмерная временная координата – $\bar{t} = t/(L/c)$. С учетом этих соотношений исходные уравнения примут вид

$$\frac{1}{\rho c^2} \frac{\partial P}{\partial t} + \frac{\partial \bar{V}}{\partial x}, \quad \frac{\partial \bar{V}}{\partial t} + \frac{1}{\rho c^2} \frac{\partial P}{\partial x} = 0. \quad (12)$$

Определим отклонение давления под действием ультразвукового импульса от стационарного значения P_0

$$\Delta P = P - P_0; \quad (13)$$

$$\frac{\partial \bar{V}}{\partial t} + \frac{1}{\rho c^2} \frac{\partial (P - P_0) \bar{V}}{\partial \bar{x}} = 0 \quad \frac{1}{\rho c^2} \frac{\partial (P - P_0)}{\partial \bar{t}} + \frac{\partial \bar{V}}{\partial \bar{x}} = 0; \quad (14)$$

$$\frac{\partial \Delta \bar{P}}{\partial t} + \frac{\partial \bar{V}}{\partial t} = 0 \quad \frac{\partial \bar{V}}{\partial t} + \frac{\partial \Delta \bar{P}}{\partial \bar{x}} = 0, \quad (15)$$

где $\Delta \bar{P} = \Delta P / \rho c^2$. Тогда начальные условия задачи примут вид

$$\Delta \bar{P}(\bar{t} = 0, \bar{x}) \quad \bar{V}(\bar{t} = 0, \bar{x}) = \frac{V_0}{c} = \bar{V}_0 \quad (16)$$

Начальные условия содержат параметр \bar{V}_0 – безразмерную начальную скорость движения пульпы. Этот параметр можно исключить, если провести следующие преобразования переменных

$$\bar{\bar{V}} = \bar{V} / \bar{V}_0; \quad \Delta \bar{\bar{P}} = \Delta \bar{P} / \bar{V}_0 \quad (17)$$

В этом случае уравнения, краевые и начальные условия примут следующий окончательный вид

$$\frac{\partial \bar{\bar{V}}}{\partial t} + \frac{\partial \Delta \bar{\bar{P}}}{\partial \bar{x}} = 0 \quad \frac{\partial \bar{\bar{P}}}{\partial t} + \frac{\partial \bar{\bar{V}}}{\partial \bar{x}} = 0 \quad \Delta \bar{\bar{P}}(\bar{t}, \bar{x} = 0) = 0 \quad \bar{\bar{V}}(\bar{t}, \bar{x} = 1) = 0, \\ \Delta \bar{\bar{P}}(\bar{t} = 0, \bar{x}) = 0 \quad \bar{\bar{V}}(\bar{t} = 0, \bar{x}) = 1. \quad (18)$$

Базовый алгоритм расчета в соответствии с приведенными выше рассуждениями реализуется следующим образом (все переменные – безразмерные величины) [3]:

1. Расчет $\bar{\bar{V}}^{n+1}$, $\Delta \bar{\bar{P}}^{n+1}$ во всех точках с дробными индексами;
2. Расчет $\Delta \bar{\bar{P}}^{n+1}$, $\bar{\bar{V}}^{n+1}$ для всех внутренних точек с индексами от $j=2$ до $(n-1)$;
3. Расчет $\Delta \bar{\bar{P}}^{n+1}$, $\bar{\bar{V}}^{n+1}$ в концевых точках: $j=1$, $j=M$.

Индексная форма записи переменных означает следующее

$$\Delta \bar{\bar{P}}_j^{n+1} = \Delta \bar{\bar{P}}(t_{n+1}, x_j), \quad \Delta \bar{\bar{P}}_j^n = \Delta \bar{\bar{P}}(t_n, x_j), \quad \Delta \bar{\bar{P}}_{j+1}^n = \Delta \bar{\bar{P}}(t_n, x_{j+1}) \\ \bar{\bar{V}}_j^{n+1} = \bar{\bar{V}}(t_{n+1}, x_j), \quad \bar{\bar{V}}_j^n = \bar{\bar{V}}(t_n, x_j), \quad x_{j\pm 1} = x_j \pm h, t_{n+1} = t_n + \tau.$$

Следует отметить, что расчётная схема требует выполнения условия $\tau \leq h/2$.

Результаты моделирования представлены на рис. 1а-г. На рис. 1а-д показана динамика изменения давления во фронте импульса высокоэнергетического ультразвука конечной длительности при его распространении в среде без течения, а на рис. 1е-г – в потоке пульпы.

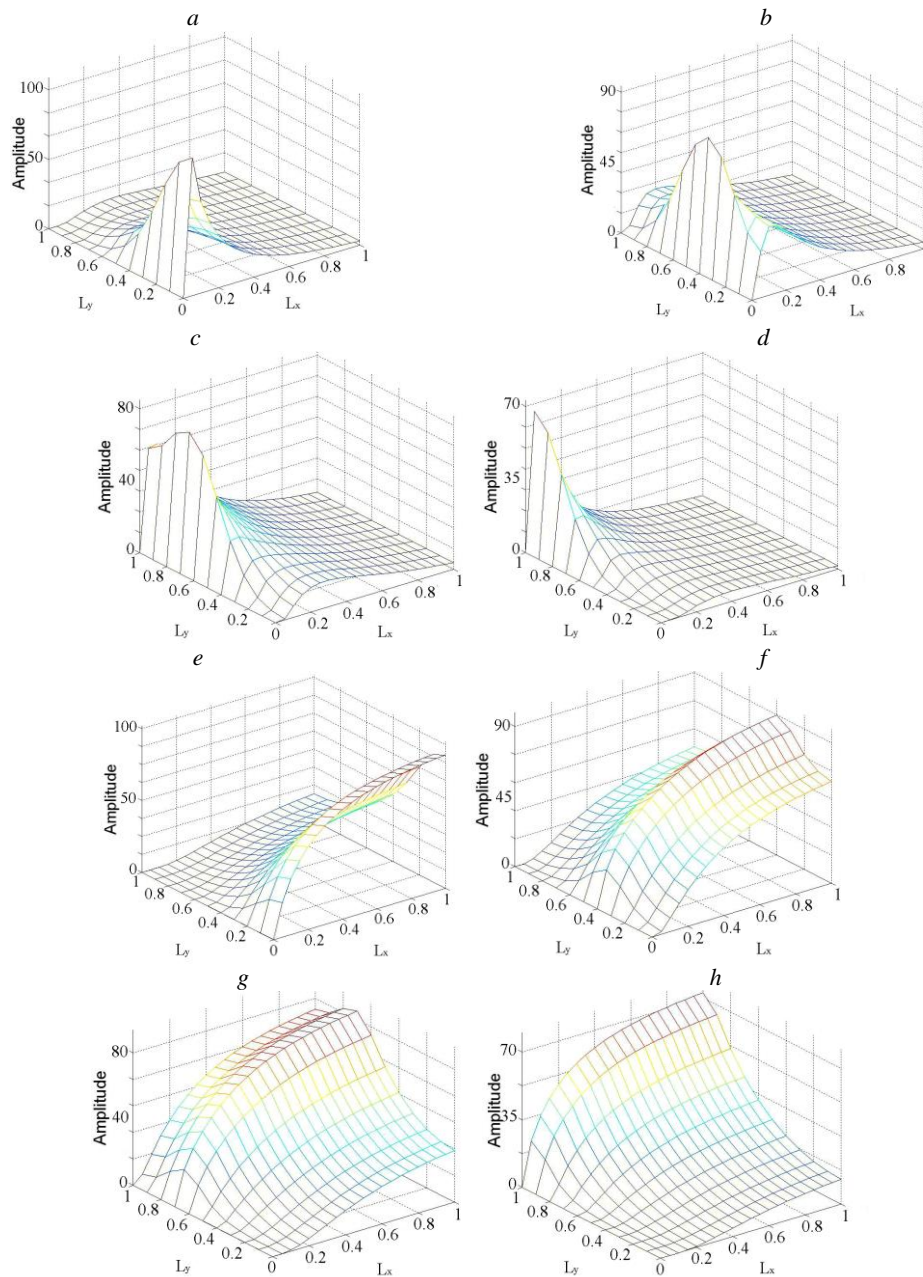


Рис. 1. Результаты моделирования

Выводы. Результаты моделирования изменения давления в процесса распространения фронта импульса высокоэнергетического ультразвука в потоке пульпы хорошо согласуются с экспериментальными данными (среднеквадратичное отклонение не превышает 0,72 %). Это является основанием для формирования и прогнозирования количественной характеристики движения частиц измельчённой руды в интенсивном ультразвуковом поле.

Список литературы

1. Хохлова В.А., Сапожников О.А., Пономарев А.Е., Руденко О.В. Численное моделирование нелинейных и дифракционных эффектов в звуковых пучках. - М.: Физический факультет МГУ, 2010. - 32 с.
2. Шрагер Э.Р., Миньков Л.Л. Компьютерное моделирование нестационарных газодинамических процессов. – Томск, 2006.
3. Королев, А. Л. Компьютерное моделирование процессов с распределенными параметрами / А. Л. Королев // Известия высших учебных заведений. Поволжский регион. Технические науки, 2008. - N 1 (5). - С. 138-150.
4. Beam R.M., Warming R.F. An Implicit Finite-Difference Algorithm for Hyperbolic Systems in Conservation Law Form// J. Comp. Phys, 1976. – Vol.22. – P.87–110.

Рукопис подано до редакції 29.03.12